

エネルギー平衡方程式に基づく伊予灘海域での波浪推算

愛媛大学工学部 正員 山口正隆
愛媛大学工学部 正員 ○畠田佳男

1. はじめに：著者らはこれまでエネルギー平衡方程式に基づく波浪推算法を開発し、閉鎖域である琵琶湖や日本海、閉境界をもつ大阪湾・紀伊水道領域に適用し、観測結果との比較からある程度の妥当性を確かめました。ひそづき、本研究では大阪湾と同様外洋からの侵入波浪の影響を受ける豊後水道・伊予灘海域での台風8013号時にかけた波浪推算を試みようとするものである。

2. 台風に伴う外洋波浪の計算：一般に外洋と接続している内海での波浪推算を行う場合、外洋からの侵入波浪を考慮する必要がある。そこで、北緯 $22^{\circ} \sim 34^{\circ}$ 、東経 $122^{\circ} \sim 139^{\circ}$ （南北約 1500 km 、東西約 1900 km ）の太平洋上に設けた格子網上で波浪推算を行い、外洋からの侵入波浪を評価する。図-1は計算領域（格子間隔 $\Delta x = \Delta y = 80\text{ km}$ ）および8013号の経路を示す。台風8013号は昭和55年9月11日8時頃鹿児島県大隅半島に上陸し、九州中部を縦断したのち、日本海に抜けており、とくに14時から15時にかけて開防灘を通じている。まず波浪計算に必要な風は台風モデルによることとし、気圧分布としてMeyer式を用い、気圧深度、ほぼ最大風速点、吹き込み角および台風位置を1時間ごとに与えて、図-1の各格子点上の風向・風速を算出した。そして台風モデルの妥当性を検討するため、南西諸島の与那国から潮岬に至る約25地点の観測結果と計算結果を比較したが、それらのうち、沖縄本島の糸数および高知沖アイ地点について示したもののが図-2であり、両地点では比較的よい対応が得られている。また他地点との比較を考えると、台風コースから遠い与那国・西表および石垣などでは台風以外の気象じょう乱により観測風の風速がモデル風より大きく、風向の対応も十分でないが、台風の影響が支配的かつ地域特性の影響の少ない地点では一応の対応関係が得られるようである。結局台風モデルは台風に伴う平均的な風の場を一応再現するといえよう。つきに、台風モデルによる風の場のうえでエネルギー平衡方程式に基づく波浪推算法を図-1の領域に対して適用する。計算条件は $\Delta t = 1\text{ hr}$ 、 $f = 0.04\text{ Hz} \sim 0.7\text{ Hz}$ (14)、 $\Delta\theta = 18^{\circ}$ (21) であるし、外洋に接する境界では局所風に対応するPierson-Moskowitzスペクトルを境界条件として与えた。ただし、計算領域への過大なエネルギーの流入を避けるため、周波数が 0.1 Hz 以下では部分的なエネルギー・カットが行われた。図-3は有義波高的平面分布の一例を示したものである。この場合、台風中心は大隅半島近くにあり、その右側領域では $H_s = 12\text{ m}$ 以上に及ぶ高波高が出現しているが、左側領域では九州および奄美大島・沖縄などの影響を受け、比較的静穏である。そして計算結果は石垣島から御坊に至る14点の観測結果と比較された。図-4は高知沖アイ地点における比較を示したものであり、最大値の起時から2時間程度までのことを考慮すると、経時変化は比較的よく対応している。しかし、台風来襲前の9月9日時点では波高・周期とも計算結果がかなり小さい。つまり今回の計算ではうねり性の波がう

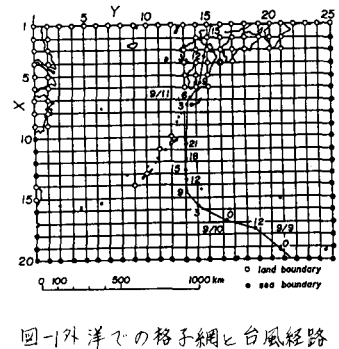


図-1 外洋での格子網と台風経路

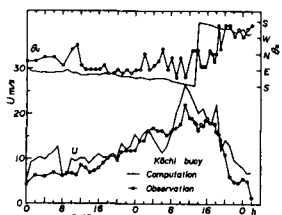
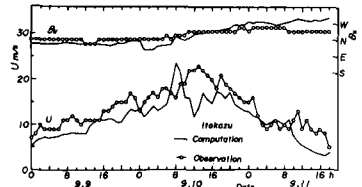


図-3 台風内波浪の平面分布

よく再現されないようである。この傾向は危険半円にあたり台風右側領域の他地点でも見出され、さらにピーク値の計算結果は、観測結果か観測水深および地形特性の影響を受けていたため、かなり大きな目の値を与えた。

3. 内海における波浪計算：この場合、風特性の考え方として(i)実測風の内挿、(ii)台風モデルの2つ、が用いられた。(i)では、観測結果の海上風への変換、(ii)では台風モデルに含まれない地形特性の風分布に与える影響、がそれぞれ問題である。図-5は豊後水道・伊予灘海域を示したものである。同海域沿岸に沿って多くの地点で風の観測が行われているし、波浪は○印で示す4地点で観測されている。そこで、風観測点を結んで計算領域を多数の三角形に分割し、各三角形内格子点の風特性を平面補間式から推定する

という方法を用いて、1時間ごとの海上風の平面分布を推定した。この場合各観測点での海上風は周辺の地形特性や海岸線からの距離などを換算して決めた換算係数を観測風に乗じて推定した。図-6は同領域における海上風の平面分布の推定結果である。この時点は丁度台風中心が同防波堤に入ろうとしている時であるので、図においても領域左側の苅田付近に台風中心が見出される。ついで、著者らの有限風域場における波浪の数値計算法を適用し、同海域の波浪を計算した。計算条件は $\Delta x = \Delta y = 6\text{ km}$ 、 $\Delta t = 10\text{ min}$ であり、吹送距離は各格子点の風向と逆方向を中心にして $\pm 11.25^\circ$ および 22.5° の合計5方向に対する対岸距離の平均値とした。豊後水道における境界条件は外洋波浪計算から補助記憶装置に記録して図-1の②地点での1時間ごとの方向スペクトルを10分ごとに線型内挿して与えた。ただし、境界と軸方向での方向スペクトルの値は同一とした。図-7は苅田および伊予において波高が最大になった時点での有義波高的平面分布を示したものであり、この時点での領域全体の平均的風向は東南である。図によると、豊後水道では外洋から10m以上の波が侵入しているが、この侵入波浪は佐田岬半島によって大部分しゃへいされているため、

図-6 海上風の平面分布
岬先端付近で4mの等高線が内海部に入っている程度である。図-8は苅田および鷲崎での観測結果との比較を示したものである。この図によると、鷲崎では周期が、一方苅田では波高が大きくなっている。このことから鷲崎での観測結果には外洋からのうねりの影響がかなり入っていることが推測される。また、図-9は風の推定に台風モデルを用いた場合の計算結果であるが、苅田での対応度はかなり改良されるものの、鷲崎では逆に低下している。結局、今回の計算に用いた海上風換算係数は若干小ささずたようと思われる。

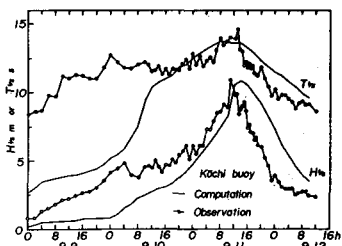


図-4 波特性の比較（高知沖）

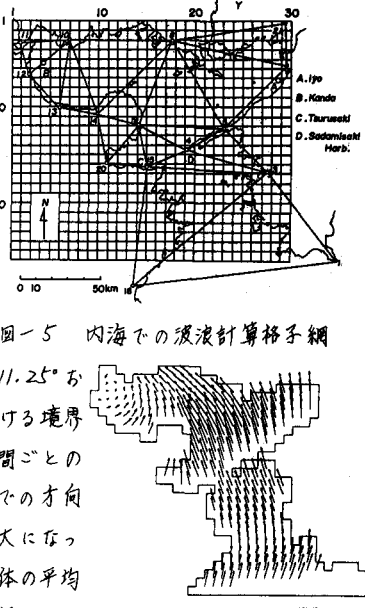


図-5 内海での波浪計算格子網

WIND 55 9 11 14 30 20m/s

図-6 海上風の平面分布

図-7 有義波の平面分布

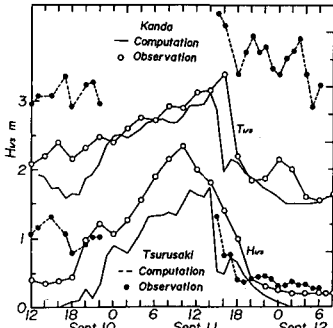


図-8 観測結果との比較(1)

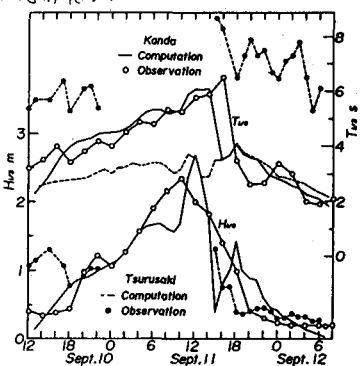


図-9 観測結果との比較(2)